

UART 串口驱动开发文档

-----w83697/w83977 super I/O 串口驱动开发

内容简介: 介绍了 Linux 下的串口驱动的设计层次及接口, 并指出串口与 TTY 终端之间的关联层次(串口可作 TTY 终端使用), 以及 Linux 下的中断处理机制/中断共享机制, 还有串口缓冲机制当中涉及的软中断机制; 其中有关 w83697/w83977 IC 方面的知识, 具体参考相关手册, 对串口的配置寄存器有详细介绍, 本文不再进行说明.

目录索引:

- 一. Linux的串口接口及层次.
- 二. Linux 的中断机制及中断共享机制.
- 三. Linux的软中断机制.
- 四. TTY与串口的具体关联.
- 五. 串口使用示例说明.

一. Linux 的串口接口及层次.

串口是使用已经非常广的设备了,因此在 linux 下面的支持已经很完善了,具有统一的编程接口,驱动开发者所要完整的工作就是针对不同的串口 IC 来做完成相应的配置宏,这此配置宏包括读与写,中断打开与关闭(如传送与接收中断),接收状态处理,有 FIFO 时还要处理 FIFO 的状态. 如下我们就首先切入这一部分,具体了解一下与硬件串口 IC 相关的部分在驱动中的处理,这一部分可以说是串口驱动中的最基础部分,直接与硬件打交道,完成最底层具体的串口数据传输.

1. 串口硬件资源的处理.

W83697 及 W83977 在 ep93xx 板子上的映射的硬件物理空间如下:

W83697: 0x20000000 起 1K 空间.

W83977: 0x30000000 起 1K 空间.

因为串口设备的特殊性,可以当作终端使用,但是终端的使用在内核还未完全初始化之前(关于串口与终端的关联及层次在第四节中详细),此时还没有通过 mem_init() 建立内核的虚存管理机制,所以不能通过 ioremap 来进行物理内存到虚存的映射(物理内存必须由内核映射成系统管理的虚拟内存后才能进行读写访问),这与先前所讲的 framebuffer 的物理内存映射是不同的,具体原因如下:

✓ 终端在注册并使用的调用路径如下:

start_kernel → console_init → uart_console_init → ep93xxuart_console_init → register_console → csambuart_console_write.

✓ FrameBuffer 显卡驱动中的物理内存映射调用路径如下:

start_kernel → rest_init → init(内核初始线程) → do_basic_setup → do_initcalls → fbmem_init → lanrryfb_init

(Linux 下用 __setup 启动初期初始机制与 __initcall 系统初始化完成后的调用机制,这两个机制本质没有什么差别,主要是执行时所处的系统时段)

✓ 串口物理内存映射到虚存的时机:

依据上面所介绍的两条执行路径,再看内核的内存初始化的调用时期,只有完成这个初始化后才能进行物理内存到虚存的映射,内存的初始化主要是在 start_kernel 中调用的 mem_init,这个调用明显在 uart_console_init 之后,在 fbmem_init 之后,到此就全部说明了为何不能在对串口使用 ioremap 进行物理内存的映射了.那么究竟要在什么时机用什么方法进行串口物理内存的映射呢?

✓ 串口物理内存的映射方式:

参考 ep93xx 的板载 I/O 的映射处理,它的处理方式是一次性将所有的物理 I/O 所在的内存空间映射到虚存空间,映射的基址是 IO_BASE_VIRT,大小是 IO_SIZE.

```
/* Where in virtual memory the IO devices (timers, system controllers
```

```
 * and so on). This gets used in arch/arm/mach-ep93xx/mm.c.*/
```

```
#define IO_BASE_VIRT          0xFF000000    // Virtual address of IO
```

```
#define IO_BASE_PHYS         0x80000000    // Physical address of IO
```

```
#define IO_SIZE          0x00A00000    // How much?
```

完成映射的函数是 `ep93xx_map_io`，所有要进行映射内存都在 `ep93xx_io_desc` 结构中描述，我们的串口映射也加在这个地方，基址分别如下：

文件: `linux-2.4.21/include/asm-arm/arch-ep93xx/regmap.h`

```
#define IO_W83697_UART_BASE    0x20000000
#define IO_W83697_UART_SIZE    0x1000
#define IO_W83977_UART_BASE    0x30000000
#define IO_W83977_UART_SIZE    0x1000
#define IO_SIZE_2              (IO_SIZE+0x100000)
#define IO_BASE83697_VIRT      IO_BASE_VIRT+IO_SIZE
#define IO_BASE83977_VIRT      IO_BASE_VIRT+IO_SIZE_2
```

`ep93xx_map_io` 完成是在 `arch` 初始化中赋值给 `struct machine_desc mdesc` 这个机器描述结构体，主要由位于 `mach-ep93xx/arch.c` 文件中如下宏完成此结构的初始化：

```
MACHINE_START(EDB9302, "edb9302")
    .....
    MAPIO(ep93xx_map_io)    //初始化. map_io= ep93xx_map_io....
MACHINE_END
```

最终这个函数在调用路径如下：

```
start_kernel → setup_arch → paging_init → (mdesc->map_io())
```

至此完成串口物理内存的映射，这个过程在 `console_init` 调用之前，因此不会有问題，此种方法建立映射是直接创建物理内存页与虚存页的对应，大小为 4k 一页，最终调用的是 `create_mapping()`，建立页表映射是与具体的平台相关的，位于 `mach_ep93xx/mm/proc-arm920.S` 文件中提供了与具体平台相关的页表建立函数，其中包括 TLB 表操作/Cache 操作/页表操作等：

在上层的 `start_kernel → setup_arch → setup_processor` 调用下，会在 `proc-arm920.S` 文件中查找 ".proc.info" 节的 `__arm920_proc_info`，并从中找到配置的 `process` 相关的操作函数，具体的 `arm` 页表建立的详情须要参看 `ARM` 内存管理的相关手册。

```
.section    ".proc.info", #alloc, #execinstr
.type      __arm920_proc_info,#object
__arm920_proc_info:
.long      0x41009200
.....
.long      arm920_processor_functions
.size      __arm920_proc_info, . - __arm920_proc_info
```

在 `arm920_processor_functions` 中包含的页表操作如下：

```
/* pgtable */
.word      cpu_arm920_set_pgd
```

```
.word    cpu_arm920_set_pmd
.word    cpu_arm920_set_pte
```

2. 与串口硬件相关的宏主.

如下, 下面将详述如下, 并指出其具体被使用的环境上下文:

<1>. 读写数据.

```
#define UART_GET_CHAR(p)          ((readb((p)->membase + W83697_UARTDR)) & 0xff)
#define UART_PUT_CHAR(p, c)      writeb((c), (p)->membase + W83697_UARTDR)
```

<2>. 接收发送状态.

```
#define UART_GET_RSR(p)          ((readb((p)->membase + W83697_UARTRSR)) & 0xff)
#define UART_PUT_RSR(p, c)      writeb((c), (p)->membase + W83697_UARTRSR)
```

<3>. 发送及接收中断状态.

```
#define UART_GET_CR(p)          ((readb((p)->membase + W83697_UARTCR)) & 0xff)
#define UART_PUT_CR(p, c)      writeb((c), (p)->membase + W83697_UARTCR)
#define UART_GET_INT_STATUS(p) ((readb((p)->membase + W83697_UARTIIR)) & 0xff)
```

<4>. 以及其它的中断使能设置等, 在传送时打开传送中断即会产生传送中断.

```
#define UART_PUT_ICR(p, c)      writeb((c), (p)->membase + W83697_UARTICR)
```

<5>. FIFO 的状态, 是否读空/是否写满; 每次读时必须读至 FIFO 空, 写时必须等到 FIFO 不满时才能写(要等硬件传送完).

接收中断读空 FIFO 的判断:

```
status = UART_GET_FR(port);
while (UART_RX_DATA(status) && max_count--){
    .....
}
```

发送中断写 FIFO: 当发送缓冲区中有数据要传送时, 置发送中断使能, 随后即产生传送中断, 此时 FIFO 为空, 传送半个 FIFO 大小的字节, 如果发送缓冲区数据传完, 则关闭发送中断.

<6>. 传送时可直接写串口数据口, 而不使用中断, 但必须等待检测 FIFO 的状态

```
do {
    status = UART_GET_FR(port);
} while (!UART_TX_READY(status)); //wait for tx buffer not full...
```

3. 串口驱动的参数配置

串口的参数主要包括如下几个参数, 全部都记录在 `uart_port` 结构上, 为静态的赋值, 本串口驱动支持 6 个设备, 所以驱动中就包括了 6 个 port, 一个串口对应一个 port 口, 他们之间除了对应的中断号/寄存器起始基址/次设备号不同之外, 其它的参数基本相同.

- ✓ 串口对应中断, 这里六个串口, 其中有 3 个串口使用的系统外部中断 0/1/2, 其中另外几个中断用提 GPIO 中断, 具体有关 GPIO 中断的内容可参见 EP93XX 芯片手册, GPIO 中断共享一个系统中断向量, 涉及中断共享的问题, 后面将详述 LINUX 中的中断共享支持.
- ✓ 串口时钟, 串口时钟用来转换计算须要设置到配置寄存器当中的波特率比值, 其计算方法为: $quot = (port->uartclk / (16 * baud));$ baud 为当前设置的波特率, 可为 115200 等值, 取决于所选的串口时钟源, quot 即为要设置到寄存器当中的比值.
- ✓ 串口基址, 即串口所有配置寄存器基础址.
- ✓ 串口次设备号(由驱动中的最低次设备号依次累加)

前面已经讲过了六个串口中断, 这里详细列出对应情况如下, 方便查找:

w83697 的三个串口对应中断如下:

- ✓ uart 1: 读写数据寄存器偏移为 00x3F8, 对应系统外部中断 INT_EXT[0].
- ✓ uart 2: 读写数据寄存器偏移为 00x2F8, 对应系统外部中断 INT_EXT[1].
- ✓ uart 3: 读写数据寄存器偏移为 00x3e8, 对应系统外部中断 INT_EXT[2].
- ✓ uart 4: 读写数据寄存器偏移为 00x3e8, 对应 EGPIO[8].

w83977 的两个串口对应中断如下:

- ✓ uart 1: 读写数据寄存器偏移为 00x3F8, 对应 EGPIO[1].
- ✓ uart 2: 读写数据寄存器偏移为 00x2F8, 对应 EGPIO[2].

下面列出其中一个具体的串口 port 的定义如下:

```
{
    .port = {
        .membase = (void *)W83697_UART4_BASE,
        .mapbase = W83697_UART4_BASE,
        .iotype = SERIAL_IO_MEM,
        .irq = W83697_IRQ_UART4, //串口中断号
        .uartclk = 1846100, //uart 时钟, 默认.
        .fifosize = 8, //硬件 fifo 大小.
        .ops = &amba_pops, //底层驱动的硬件操作集, 如开关中断等.
        .flags = ASYNC_BOOT_AUTOCONF,
        .line = 3, //串口在次设备数组中的索引号, 须注意从 0 计起...
    },
    .dtr_mask = 0,
    .rts_mask = 0,
}
```

4. 串口驱动的底层接口函数

驱动文件:[linux-2.4.21/drivers/serial/Ep93xx_w83697.c](#)

相关文件:[linux-2.4.21/drivers/serial/core.c](#) 下面详述.

函数: `w83697uart_rx_chars(struct uart_port *port, struct pt_regs *regs)`

描述: 串口接收数据中断, 此函数中应当注意的要点如下:

- ✓ 接收数据时, 要注意判断 FIFO 是否读空(参见上述 2 点中说明).
- ✓ 接收数据放入 flip 缓冲区, 此缓冲区专供缓存中断中接收到的数据, 是最原始的串口数据, 为更上一层中各种终端处理模式的原始数据, 可以进行各种加工处理。
- ✓ 接收数据到 flip 缓冲区中时, 须根据硬件接收状态, 置每一个接收到的字符的接收标志, 放在 flag_buf_ptr 当中, 标志类型有 TTY_NORMAL/ TTY_PARITY/ TTY_FRAME 等, 分别表示正常/校验出错/帧出错(无停止位)等.
- ✓ 每接收数据之后, 会通过退出中断前调用 tty_flip_buffer_push()来向 tq_timer 任务列表中加一个队列任务, 串口的队列任务主要是负责将中断接收到 flip 缓冲区中的数据往上传输至终端缓冲区, 队列任务的机制将在后面介绍, 它是一种异步执行机制, 在软中断中触发执行.

函数: `static void w83697uart_tx_chars(struct uart_port *port)`

描述: 串口发送数据中断, 发送中断中要做的事比较少, 比起接收中断简单了好多, 注意事项如下:

- ✓ 当上层要发送数据时, 就会打开串口发送中断, 此时 FIFO 为空, 传送半个 FIFO 大小数据即退出, 通常打开中断是通过更上一层的 uart_flush_chars()调用, 最终调用的是 w83697uart_start_tx().
- ✓ 检测当没有数据要传输的时候, 关闭传送中断, 在传送之前与传送完之后都有检测.
- ✓ 最重要的一点是如果传送缓冲区当中的字符数已经小于 WAKEUP_CHARS, 则可以唤醒当前正在使用串口进行传送的进程, 这里是通过 tasklet 机制来完成, 这也是一异步执行机制.

顺带介绍开关中断接口:

`static void w83697uart_start_tx(struct uart_port *port, unsigned int tty_start)`

`static void w83697uart_stop_tx(struct uart_port *port, unsigned int tty_stop)`

函数: `static void w83697uart_int(int irq, void *dev_id, struct pt_regs *regs)`

描述: 中断处理函数, 为 3 个使用系统外部中断的串口的中断入口, 其中必须处理的中断状态分为如下几种, 注意必须在处理中断时根据手册中的说明来清除中断, 通常是读或写某些寄存器即可。

- ✓ 接收中断.
- ✓ 传送中断.
- ✓ FIFO 超时中断.
- ✓ 其它不具体处理的中断, 必须读相应寄存器清除中断.

函数: `static void w83697uart_int2(int irq, void *dev_id, struct pt_regs *regs)`

描述: 中断处理函数, 为另外几个使用串口使用的 GPIO 中断入口, GPIO 中断共享同一个系统中断向量, 必须根据 GPIO 的中断状态寄存器的相应位来判断对应的中断是属哪一个串口的, 从而进行相应的处理, 其实这个判断也是无所谓的, 因为中断产生时传进来的参数已经含有相应串口的参数, 在判断完中断产生的 GPIO 口后立即调用 `w83697uart_int2` 完成具体的中断处理.

函数: `static int w83697uart_startup(struct uart_port *port)`

描述: 串口开启后的初始化函数, 主要完成初始化配置, 以及安装中断处理了函数, 初始化配置包括打开中断使能标志.

函数: `static void w83697uart_shutdown(struct uart_port *port)`

描述: 串口关闭函数, 清除配置, 半闭中断.

函数: `static void w83697uart_change_speed(struct uart_port *port, unsigned int cflag, unsigned int iflag, unsigned int quot)`

描述: 配置函数, 经由上次调用下来, 主要配制串口的波特率比, 以及各种容错处理, 在串口打开初始化时会被调用, 在必变串口波特率/校验方式/停止位/传送位数等参数时会被调用.

5. 串口驱动与上层的接口关联

文件: `linux-2.4.21/drivers/serial/core.c`

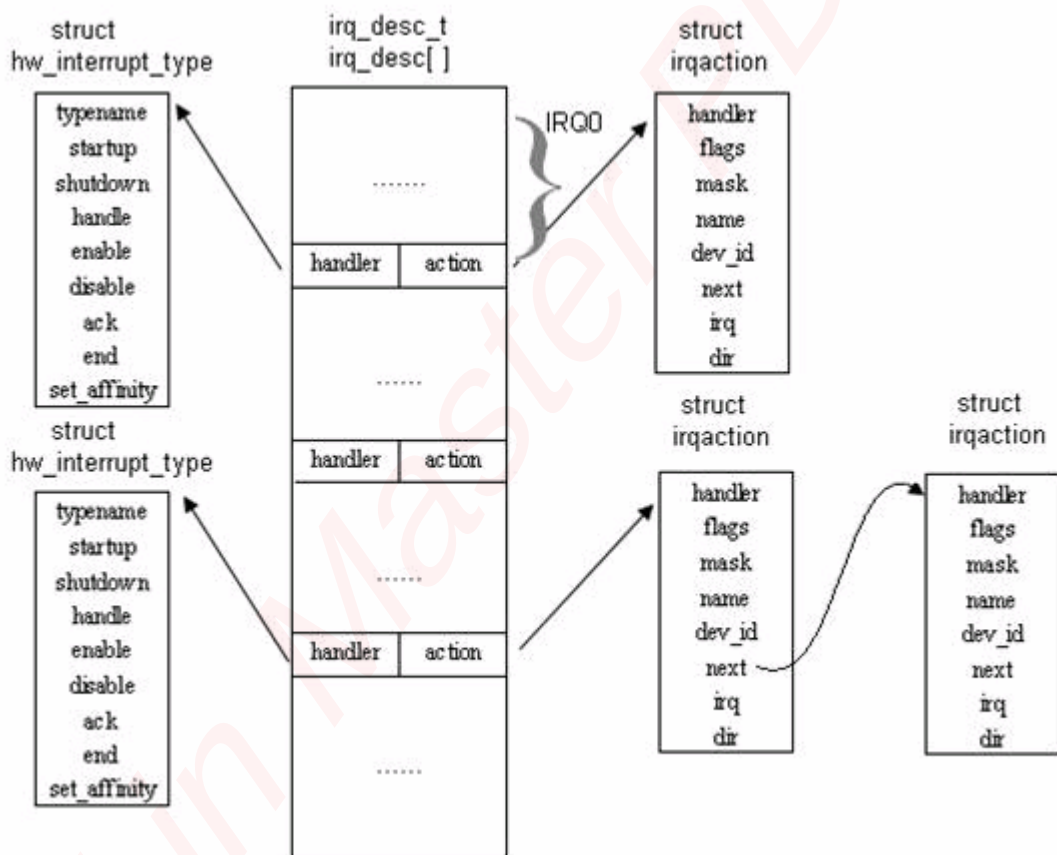
这一层接口是串口驱动中的共用部分代码, 核心结构为 `struct uart_driver`. 这一层上承 TTY 终端, 下启串口底层, 串口底层主要处理了与串口硬件相关的部分, 并向上提供 `uart` 中间层向下的接口. `Uart coar` 向下与底层驱动接口, 通过一个 `static struct uart_ops amba_pops` 结构完成, 这个结构直接赋值给串口 `struct uart_amba_port amba_ports` 的 `ops` 成员, 最后将串口的 `port` 加入到 `uart_driver` 当中完成关联, 通过 `uart_add_one_port` 加入.

```
static int __init w83697uart_init(void)
{
    int ret, i;
    ret = uart_register_driver(&amba_reg);
    if (ret == 0) {
        for (i = 0; i < UART_NR; i++)
            uart_add_one_port(&amba_reg, &amba_ports[i].port);
    }
    return ret;
}
```

二. Linux 的中断机制及中断共享机制.

前面讲到了有 6 个串口,除了 w83697 中的前三个串使用的是独立的系统外部中断之外,其它的在个串口是共享一个系统中断向量的,现在来看看多个中断是如何挂在一个系统中断向量表当中的,共享中断到底是什么样的一种机制?

进行分析代码可知,linux 下的中断采用的是中断向量的方式,每一个中断对应一个中断描述数组当中的一项,结构为 `struct irq_desc`,其当中对应一成员结构为 `struct irqaction` 的成员 `action`,这个即表示此中断向量对应的中断处理动作,这里引用从网上下载的一幅图讲明中断向量表与中断动作之间的关系:



摘自IBM developerWorks
[中国](#)

```
struct irqaction {
    void (*handler)(int, void *, struct pt_regs *);
    unsigned long flags;
    unsigned long mask;
    const char *name;
    void *dev_id;
    struct irqaction *next;
};
```


};

从上面的结构体与图当中，我们就可以很清楚的看到，一个中断向量表可以对应一个 `irqaction`，也可能对应多个由链表链在一起的一个链表 `irqaction`，这当中主要在安装中断的时候通过中断的标志位来决定：

- ✓ 安装中断处理，不可共享：

```
retval = request_irq(port->irq, w83697uart_int, 0, "w83697_uart3", port);
```

- ✓ 安装中断处理，可共享：

```
retval = request_irq(port->irq, w83697uart_int2, SA_SHIRQ, "w83977_uart5", port);
```

由上即可知，安装共享中断时，只须指定安装的中断标志位 `flag` 为 `SA_SHIRQ`。进入分析安装中断的处理可知，在安装时，会检测已经安装的中断是否支持共享中断，如果不支持，则新的中断安装动作失败；如果已经安装的中断支持共享中断，则还必须检测将要安装的新中断是否支持中断共享，如果不支持则安装还是会失败，如果支持则将此新的中断处理链接到此中断向量对应的中断动作处理链表当中。

在产生中断时，共享中断向量中对应的中断处理程序链表中的每一个都会被调用，依据链表的次序来，这样处理虽然会有影响到效率，但是一般情况下中断传到用户的中断处理服务程序中时，由用户根据硬件的状态来决定是否处理中断，所以能常情况下都是立即就返回了，效率的影响不会是大的问题。

三. Linux 的软中断机制.

前面已经简单讲过了 LINUX 下的硬中断处理机制,其实硬中断的处理都由 LINUX 底层代码具体完成了,使用者一般在处理硬中断时是相当简单的,只须要用 `request_irq()`简单的挂上中断即可,这里我们进一步介绍一下 LINUX 下的软中断机制,软中断机制相比起硬中断机制稍微复杂一些,而且在 LINUX 内核本身应用非常的广,它作为一种软性的异步执行机制,只有深入理解了它才能灵活的运用.

之所以提到内核的 `softirq` 机制,主要是在串口中断也使用了这些机制,理解了这些机制就能更加明白串口驱动一些问题,现在先提出几个问题如下:

- ✓ 前面提供到中断接收后数据,先放到 `flip` 缓冲区当中,这样让人很容易进一步想知道,中断处理的缓冲区的数据,用户进程读取串口时如何读到的?很明显中断处于内核空间,用户读取串口输入进程是在用户空间,中断缓冲区中的数据如何被处理到终端缓冲区中,供用户读取的?
- ✓ 另外写串口时,是向终端缓冲区当中写入,那么上层的写操作如何知道下层缓冲区中的数据是否传送完成?用户空间的写串口进程处于什么样的状态?如果是写完缓冲区就睡眠以保证高效的 CPU 使用率,那么何时才应该醒过来?由谁负责醒过来?

1. 往 `tq_timer` 任务队列中添加一项任务.

根据以上这两个问题,我们来深入代码分析,首先看接收缓冲区中的数据如何上传,前面已经提到过,接收中断处理完成后,会调用 `tty_flip_buffer_push()`,这个函数完成的功能就是往一系统定义的任务队列当中加入一个任务,下面我们将详细的分析加入的任务最终是如何执行起来的. [任务:这里所讲的任务可以直接理解成为一个相应的回调函数, LINUX 下术语称作 `tasklet`]

```
void tty_flip_buffer_push(struct tty_struct *tty)
{
    if (tty->low_latency)
        flush_to_ldisc((void *) tty);
    else
        queue_task(&tty->flip.tqueue, &tq_timer);
}
```

2. `tq_timer` 的执行路径分析.

`tq_timer` 是一个双链表结构任务队列,每项任务包含一个函数指针成员,它通过 `run_task_queue` 每次将当中的所有任务(其实是一些函数指针)全部调用一次,然后清空队列,最终的执行 `tq_timer` 的是在中断底半的 `tqueue_bh` 中执行,如下:

```
void tqueue_bh(void)
{
    run_task_queue(&tq_timer);
}
```

在 void __init sched_init(void)当中初始化底半的向量如, `tqueue_bh` 初始化在 `bh_base` 的 `TIMER_BH` 位置, `bh_base` 为一结构很简单的数组, 在什么位置调用什么样的了函数基本已经形成默认的习惯:

```
init_bh(TIMER_BH, timer_bh);
init_bh(TQUEUE_BH, tqueue_bh);
init_bh(IMMEDIATE_BH, immediate_bh);
```

看看 `init_bh` 相当于初始底半的服务程序, 非常简单:

```
void init_bh(int nr, void (*routine)(void))
{
    bh_base[nr] = routine;
    mb();
}
```

最终真正的执行 `bh_base` 中保存的函数指针的, 在 `bh_action()`当中:

```
static void bh_action(unsigned long nr)
{
    ...
    if (bh_base[nr])
        bh_base[nr]();
    ...
}
```

关于这里所指出的 `bh_base`, 我们在后面就直接称作 `bh`, 意即中断底半所做的事.

3. `tq_timer` 实现所依赖的 `tasklet`.

那么 `bh_action` 在什么时候执行呢? `bh_action` 被初始化成 `bh_task_vec` 这 32 个 `tasklet` 调用的任务, 因此它的依赖机制是 `tasklet` 机制, 后面将进行简单介绍.

```
void __init softirq_init()
{
    int i;
    for (i=0; i<32; i++)
        tasklet_init(bh_task_vec+i, bh_action, i);
    ...
}
```

至此已经把任务队列的执行流程及原理分析完成, `tasklet` 是须要激活的, 这里我们先指出任务队列是如何激活的, 在时钟中断的 `do_timer()`当中会调用 `mark_bh(TIMER_BH)`, 来激时钟底半所依赖运行的 `tasklet`, 其中 `bh_task_vec` 的所有成员的函数指针全部指向 `bh_action`.

```
static inline void mark_bh(int nr)
{
    tasklet_hi_schedule(bh_task_vec+nr);
}
```

`tasklet_hi_schedule` 的功能就是往 `tasklet` 当中加入一个新的 `tasklet`.

4. `tasklet` 的机制简单分析.

讲到 `tasklet`, 我们才与我们真正要讲的 `softirq` 最近了, 因为目前在软中断当中有主要的应用就是 `tasklet`, 而且在所有 32 个软中断中仅有限的几个软中断如下:

```
enum{
    HI_SOFTIRQ=0,
    NET_TX_SOFTIRQ,
    NET_RX_SOFTIRQ,
    TASKLET_SOFTIRQ
};
struct softirq_action{
    void (*action)(struct softirq_action *);
    void *data;
};
static struct softirq_action softirq_vec[32] __cacheline_aligned;//软中断的中断向量表, 实为数组.
```

[1]. 初始化软中断向量.

我们这里所要讲的, 就是 `HI_SOFTIRQ / TASKLET_SOFTIRQ` 两项, 据我理解这两项根本在实现机制上一样的, 之所以分开两个名字叫主要是为了将不同的功能分开, 就类似于虽然同是软中断, 但是各处所完成的功能不一样, 所以分在两个软中断完成, 后面我们仅取其中用于执行时钟底半的任务队列 `HI_SOFTIRQ` 为例进行讲解, 而且我们不讲及多个 CPU 情况下的 `tasklet` 相关机制, 这两项软中断的实始化如下:

```
void __init softirq_init()
{
    ....
    open_softirq(TASKLET_SOFTIRQ, tasklet_action, NULL);
    open_softirq(HI_SOFTIRQ, tasklet_hi_action, NULL);
}
```

`open_softirq` 下所做的事相当简单, 即往软中断向量中赋值, 相当于硬中断当中的 `request_irq` 挂硬件中断:

```
void open_softirq(int nr, void (*action)(struct softirq_action*), void *data)
{
    softirq_vec[nr].data = data;
    softirq_vec[nr].action = action;
}
```

[2]. 软中断中断服务程序

对于 `HI_SOFTIRQ`, 相应的中断服务程序为 `tasklet_hi_action`, 由上文所讲的初始化过程给出, 这个函数目前完成的功能相当简单, 它的任务就是遍历执行此中断所对应一个 `tasklet`

链表, NR_CPUS= 1.

```
struct tasklet_head tasklet_hi_vec[NR_CPUS] __cacheline_aligned;
```

[3]. 往软中断对应的 tasklet 链表中加入新的 tasklet, 加在尾部.

```
void __tasklet_hi_schedule(struct tasklet_struct *t)
{
...
    t->next = tasklet_hi_vec[cpu].list;
    tasklet_hi_vec[cpu].list = t;
    cpu_raise_softirq(cpu, HI_SOFTIRQ);
...
}
```

最重要的一点是, 在安装了新的 tasklet 后, 还必须将软中断设置为激活, 告诉系统有软中断须要执行了, 下面一点即提到系统如何检测是否有软中断须要处理:

```
#define __cpu_raise_softirq(cpu, nr) do { softirq_pending(cpu) |= 1UL << (nr); } while (0)
```

[4]. 软中断所依赖的执行机制.

讲到最后还没有指出软中断是如何触发执行的, 其实很简单:

- ✓ 在系统处理所有硬中断信号时, 他们的入口是统一的, 在这个入口函数当中除了执行 do_IRQ()完成硬件中断的处理之外, 还会执行 do_softirq()来检测是否有软中断须要执行, 所以软中断所依赖的是硬件中断机制;
- ✓ 另外还有一个专门处理软中断内核线程 ksoftirqd(), 这个线程处理软中断级别是比较低的, 他是一个无限 LOOP 不停的检测是否有软中断须要处理, 如果没有则进行任务调度.

在 do_softirq()中有如下的判断, 以决定是否有软中断须要执行, 如果没有就直接退出, 在[3]中提到的激活软中断时, 要将相应软中断位置 1, 软中断有 32 个, 因此一个整型数即可以表示 32 个软中断, 即可判断有什么样的软中断须要处理, 代码如下:

```
pending = softirq_pending(cpu);
if (pending) {
...
do { //检测 32 个软中断位标志中是否有为 1 的...
    if (pending & 1)
        h->action(h);
        h++;
        pending >>= 1;
    } while (pending);
```

[4]. 软中断所依赖的执行时期问题.

之所以将这个问题单独列开来讲, 是因为他特别的重要, 上面我已经讲过了软中断是依赖硬中断触发执行的, 但是产生如下疑问:

- ✓ 是不是一有硬中断发生就会触发软中断的执行？
- ✓ 软中断的执行会不会影响到系统的性能？
- ✓ 会不会影响到硬中断的处理效率？也就是说会不会导致在处理软中断时而引起硬中断无法及时响应呢？

再看 `do_softirq` 的代码当中有如下判断：

```
if (in_interrupt())
    return;
```

这个条件就是能否进行软中断处理的关键条件，因此由此也可以了解到软中断是一种优先级低于硬中断的软性机制，具体来看看这个判断条件是什么：

```
/*Are we in an interrupt context? Either doing bottom half
 * or hardware interrupt processing?*/
#define in_interrupt() ({ const int __cpu = smp_processor_id(); \
    (local_irq_count(__cpu) + local_bh_count(__cpu) != 0); })
/* softirq.h is sensitive to the offsets of these fields */
typedef struct {
    unsigned int __softirq_pending;
    unsigned int __local_irq_count;
    unsigned int __local_bh_count;
    unsigned int __syscall_count;
    struct task_struct * __ksoftirqd_task; /* waitqueue is too large */
} ____cacheline_aligned irq_cpustat_t;
#define irq_enter(cpu,irq) (local_irq_count(cpu)++)
#define irq_exit(cpu,irq) (local_irq_count(cpu)--)
```

看到这里，不得不再多注意一个结构，那就是 `irq_cpustat_t`，先前我们讲是否有软中断产生的标志位，但没有提到 `__softirq_pending`，这个变量就是记载 32 个软中断是否产生的标志，每一个软中断对应一个位；在中断执行的 `do_softirq` 中有如下几个重要的动作，说明如下：

- ✓ `in_interrupt` 判断是否可以软中断处理，判断的条件就是没有处在硬件中断环境中，而且还没有软中断正在执行（即不允许软中断嵌套），软中断的嵌套避免是通过 `local_bh_disable()/local_bh_enable()` 实现，至于带有 `bh`，其意也即指 `softirq` 是中断底半 (`bh`)，在处理硬件中断时，一进行即会调用 `irq_enter` 来表示已经进入硬件中断处理程序，处理完硬件中断后再调用 `irq_exit` 表示已经完成处理；
- ✓ `pending` 判断是否有软中断须要处理，每个位用作当作一个软中断是否产生的标志。
- ✓ 清除所有软中断标志位，因为下面即将处理；但清除之前先缓存起来，因为下面还要使用这个变量一次。
- ✓ 在进入软中断处理后，会关闭 `bh` 功能的执行，执行完后才打开，这样在 `in_interrupt` 判断当中就会直接发现已经有 `bh` 在执行，不会再次进入 `bh` 执行了，这严格保证了 `bh` 执行的串行化。
- ✓ 打开硬件中断，让软中断在有硬件中断的环境下执行。
- ✓ 处理完软中断后关闭硬中断，再次检测是否有新的软中断产生，如果有的话，却只须立即处理本次软中断过程未发生过的软中断向量。之所以会有新的软中断产生，那是因为软中断是在开硬件中断的情况下执行，硬件中断处理是可能又产生了新的软中断。之所以只处理本次软中断未发生的软中断向量，依据我自己的理解，其目的是为了不加重复

中断处理的负担而不马上处理，只是相应的唤醒一个 `wakeup_softirqd` 线程，这是专门处理软中断的，这样虽然延误了软中断的处理，但避免了在硬中断服务程序中拖延太长的时间。[关于软中断的处理在后绪版本变化也很大，可以进一步学习研究，如何使软中断不至影响中断处理效率]

软中断处理这个函数虽然不长，但是相当的关键，每一句代码都很重要，结合上面所说的几点，与源码交互起来理解才能根本理解软中断的设计机制：

```
asmlinkage void do_softirq()
{
    int cpu = smp_processor_id();
    __u32 pending;
    unsigned long flags;
    __u32 mask;
    if (in_interrupt())    return;
    local_irq_save(flags);
    pending = softirq_pending(cpu);
    if (pending) {
        struct softirq_action *h;
        mask = ~pending;
        local_bh_disable();
restart:
        /* Reset the pending bitmask before enabling irqs */
        softirq_pending(cpu) = 0;
        local_irq_enable();
        h = softirq_vec;
        do {
            if (pending & 1)
                h->action(h);
            h++;
            pending >>= 1;
        } while (pending);
        local_irq_disable();
        pending = softirq_pending(cpu);
        if (pending & mask) {
            mask &= ~pending;
            goto restart;
        }
        __local_bh_enable();
        if (pending)
            wakeup_softirqd(cpu);
    }
    local_irq_restore(flags);
}
```

四. TTY 与串口的具体关联.

串口设备可以当作 TTY 终端来使用, 这又使串口设备比一般的设备稍微复杂一些, 因为他还必须与终端驱动关联起来, 虽然这部分与 TTY 的关联已经是属于公用部分的代码, 并不须要驱动编写者特别做些什么来进行支持, 但对它与 TTY 的层次关联的了解有助于理解整个串口的数据流向.

串口要能够成为终端, 必须客外加入终端注册及初始化的代码, 这部分很简单, 基本上所有的串口驱动都是固定的模式, 并无什么修改, 主要包括如下结构:

```
static struct console cs_amba_console = {  
    .name      = "ttyBM",  
    .write     = w83697uart_console_write,  
    .device    = w83697uart_console_device,  
    .setup     = w83697uart_console_setup,  
    .flags     = CON_PRINTBUFFER,  
    .index     = -1,  
};
```

串口终端的注册通过下面的函数, 将 `cs_amba_console` 注册成为终端, 这个函数调用路径是:

```
start_kernel()→console_init()→ep93xxuart_w83697_console_init()  
void __init ep93xxuart_w83697_console_init(void)
```

终端会对应一种具体设备的 driver, 相对于串口这个结构是 `uart_driver`, 在驱动中我们已经提供了一个这样的结构. `static struct uart_driver amba_reg, uart_register_driver` 将它注册成为终端对应的 driver, 因此真正串口与终端的关联就在此处建立.

函数: `static int __init w83697uart_init(void)`

描述: 调用 `uart_register_driver()` 完成串口与终端的关联, 将串口注册成为一种 TTY 设备, 在 `uart_register_driver()` 当中调用 `tty_register_driver()` 完成 TTY 设备注册; 其次是完成串口 port 口的注册, 将静态描述的所有串口 port (结构为 `struct uart_port`) 注册到 `uart_driver` 当中.

特别说明: 注册串口 TTY 设备时, 由于历史的原因会注册两个 TTY 设备, 一个是 `normal`, 另一个是 `callout`, 是两个设备来的, 在我们这里两者没有什么差别, 请看源码中的注解:

```
.normal_name    = "ttyBM",  
.callout_name   = "cuaam",  
/*  
 * The callout device is just like the normal device except for  
 * the major number and the subtype code.  
 */
```

函数: `static void __exit w83697uart_exit(void)`

描述: 卸载设备, 卸载 port 口, 因为我编译的驱动是与内核绑定在一起的, 因此实际上根本不会调用此函数.

五. 串口测试使用示例说明

为了测试串口驱动，提供一个测试示例，基本使用如下：

示例文件：uarttest-2.c

位置：与文档一起提供. 😊

1. 本示例支持同时打开多个串口进行测试，可以测试 ep93xx 所支持的八个串口，其中包括本身提供的两个串口。
2. 可以进行串口速度/校验/停止位等设置，但打开多个串口时设置只能设置所有串口相同。
3. 测试过程中，会自动统计每个串口收到的数据，可以使用“串口调试助手 2.2”协助测试，并对比发送的与接收数据是否相等。
4. 如要停止以查看结果，须等待 15 秒程序即会打印出各个串口的收发统计信息。
5. 具体操作：
 - [1]. 首先选择须要打开的串口，用数字 0~7 代表如下的八个串口，如果选择完成输入数字 8.
 - [2]. 接着选择须要设置的串口速度，按提示来.
 - [3]. 其次设置奇偶性.
6. ep93xx 所支持的所有串口设备名称列表:

```
{  
"/dev/ttyAM0", //ep93xx 自带的两个串口...  
"/dev/ttyAM1",  
"/dev/ttyBM0", //以后六个为 w83697 支持的四个串口...  
"/dev/ttyBM1",  
"/dev/ttyBM2",  
"/dev/ttyBM3",  
"/dev/ttyBM4", //以后为 w83977 支持的两中串口...  
"/dev/ttyBM5",  
};
```

嵌入式资源免费下载

总线协议:

1. [基于 PCIe 驱动程序的数据传输卡 DMA 传输](#)
2. [基于 PCIe 总线协议的设备驱动开发](#)
3. [CANopen 协议介绍](#)
4. [基于 PXI 总线 RS422 数据通信卡 WDM 驱动程序设计](#)
5. [FPGA 实现 PCIe 总线 DMA 设计](#)
6. [PCI Express 协议实现与验证](#)
7. [VPX 总线技术及其实现](#)
8. [基于 Xilinx FPGA 的 PCIE 接口实现](#)
9. [基于 PCI 总线的 GPS 授时卡设计](#)
10. [基于 CPCI 标准的 6U 信号处理平台的设计](#)
11. [USB30 电路保护](#)
12. [USB30 协议分析与框架设计](#)
13. [USB 30 中的 CRC 校验原理及实现](#)
14. [基于 CPLD 的 UART 设计](#)
15. [IPMI 在 VPX 系统中的应用与设计](#)
16. [基于 CPCI 总线的 PMC 载板设计](#)
17. [基于 VPX 总线的工件台运动控制系统研究与开发](#)
18. [PCI Express 流控机制的研究与实现](#)
19. [UART16C554 的设计](#)
20. [基于 VPX 的高性能计算机设计](#)
21. [基于 CAN 总线技术的嵌入式网关设计](#)
22. [Visual C 串行通讯控件使用方法与技巧的研究](#)
23. [IEEE1588 精密时钟同步关键技术研究](#)
24. [GPS 信号发生器射频模块的一种实现方案](#)
25. [基于 CPCI 接口的视频采集卡的设计](#)
26. [基于 VPX 的 3U 信号处理平台的设计](#)
27. [基于 PCI Express 总线 1394b 网络传输系统 WDM 驱动设计](#)
28. [AT89C52 单片机与 ARINC429 航空总线接口设计](#)
29. [基于 CPCI 总线多 DSP 系统的高速主机接口设计](#)
30. [总线协议中的 CRC 及其在 SATA 通信技术中的应用](#)
31. [基于 FPGA 的 SATA 硬盘加解密控制器设计](#)
32. [Modbus 协议在串口通讯中的研究及应用](#)
33. [高可用的磁盘阵列 Cache 的设计和实现](#)
34. [RAID 阵列中高速 Cache 管理的优化](#)

35. [一种新的基于 RAID 的 CACHE 技术研究与实现](#)
36. [基于 PCIE-104 总线的高速数据接口设计](#)
37. [基于 VPX 标准的 RapidIO 交换和 Flash 存储模块设计](#)
38. [北斗卫星系统在海洋工程中的应用](#)
39. [北斗卫星系统在远洋船舶上应用的研究](#)
40. [基于 CPCI 总线的红外实时信号处理系统](#)
41. [硬件实现 RAID 与软件实现 RAID 的比较](#)
42. [基于 PCI Express 总线系统的热插拔设计](#)
43. [基于 RAID5 的磁盘阵列 Cache 的研究与实现](#)
44. [基于 PCI 总线的 MPEG2 码流播放卡驱动程序开发](#)
45. [基于磁盘阵列引擎的 RAID5 小写性能优化](#)
46. [基于 IEEE1588 的时钟同步技术研究](#)
47. [基于 Davinci 平台的 SD 卡读写优化](#)
48. [基于 PCI 总线的图像处理及传输系统的设计](#)
49. [串口和以太网通信技术在油液在线监测系统中的应用](#)
50. [USB30 数据传输协议分析及实现](#)
51. [IEEE 1588 协议在工业以太网中的实现](#)
52. [基于 USB30 的设备自定义请求实现方法](#)
53. [IEEE1588 协议在网络测控系统中的应用](#)
54. [USB30 物理层中弹性缓冲的设计与实现](#)
55. [USB30 的高速信息传输瓶颈研究](#)
56. [基于 IPv6 的 UDP 通信的实现](#)
57. [一种基于 IPv6 的流媒体传送方案研究与实现](#)
58. [基于 IPv4-IPv6 双栈的 MODBUS-TCP 协议实现](#)
59. [RS485CAN 网关设计与实现](#)
60. [MVB 周期信息的实时调度](#)
61. [RS485 和 PROFINET 网关设计](#)
62. [基于 IPv6 的 Socket 通信的实现](#)
63. [MVB 网络重复器的设计](#)
64. [一种新型 MVB 通信板的探究](#)
65. [具有 MVB 接口的输入输出设备的分析](#)
66. [基于 STM32 的 GSM 模块综合应用](#)
67. [基于 ARM7 的 MVB CAN 网关设计](#)
68. [机车车辆的 MVB CAN 总线网关设计](#)
69. [智能变电站冗余网络中 IEEE1588 协议的应用](#)
70. [CAN 总线的浅析 CANopen 协议](#)
71. [基于 CANopen 协议实现多电机系统实时控制](#)
72. [以太网时钟同步协议的研究](#)
73. [基于 CANopen 的列车通信网络实现研究](#)
74. [基于 SJA1000 的 CAN 总线智能控制系统设计](#)
75. [基于 CANopen 的运动控制单元的设计](#)
76. [基于 STM32F107VC 的 IEEE 1588 精密时钟同步分析与实现](#)

77. [分布式控制系统精确时钟同步技术](#)
78. [基于 IEEE 1588 的时钟同步技术在分布式系统中应用](#)
79. [基于 SJA1000 的 CAN 总线通讯模块的实现](#)
80. [嵌入式设备的精确时钟同步技术的研究与实现](#)
81. [基于 SJA1000 的 CAN 网桥设计](#)
82. [基于 CAN 总线分布式温室监控系统的设计与实现](#)
83. [基于 DSP 的 CANopen 通讯协议的实现](#)

VxWorks:

1. [基于 VxWorks 的多任务程序设计](#)
2. [基于 VxWorks 的数据采集存储装置设计](#)
3. [Flash 文件系统分析及其在 VxWorks 中的实现](#)
4. [VxWorks 多任务编程中的异常研究](#)
5. [VxWorks 应用技巧两例](#)
6. [一种基于 VxWorks 的飞行仿真实时管理系统](#)
7. [在 VxWorks 系统中使用 TrueType 字库](#)
8. [基于 FreeType 的 VxWorks 中文显示方案](#)
9. [基于 Tilcon 的 VxWorks 简单动画开发](#)
10. [基于 Tilcon 的某武器显控系统界面设计](#)
11. [基于 Tilcon 的综合导航信息处理装置界面设计](#)
12. [VxWorks 的内存配置和管理](#)
13. [基于 VxWorks 系统的 PCI 配置与应用](#)
14. [基于 MPC8270 的 VxWorks BSP 的移植](#)
15. [Bootrom 功能改进经验谈](#)
16. [基于 VxWorks 嵌入式系统的中文平台研究与实现](#)
17. [VxBus 的 A429 接口驱动](#)
18. [基于 VxBus 和 MPC8569E 千兆网驱动开发和实现](#)
19. [一种基于 vxBus 的 PPC 与 FPGA 高速互联的驱动设计方法](#)
20. [基于 VxBus 的设备驱动开发](#)
21. [基于 VxBus 的驱动程序架构分析](#)
22. [基于 VxBus 的高速数据采集卡驱动程序开发](#)
23. [Vxworks 下的冗余 CAN 通讯模块设计](#)
24. [WindML 工业平台下开发 S1d13506 驱动及显示功能的实现](#)
25. [WindML 中 Mesa 的应用](#)
26. [VxWorks 下图形用户界面开发中双缓冲技术应用](#)
27. [VxWorks 上的一种 GUI 系统的设计与实现](#)
28. [VxWorks 环境下 socket 的实现](#)

29. [VxWorks 的 WindML 图形界面程序的框架分析](#)
30. [VxWorks 实时操作系统及其在 PC104 下以太网编程的应用](#)
31. [实时操作系统任务调度策略的研究与设计](#)
32. [军事指挥系统中 VxWorks 下汉字显示技术](#)
33. [基于 VxWorks 实时控制系统中文交互界面开发平台](#)
34. [基于 VxWorks 操作系统的 WindML 图形操控界面实现方法](#)
35. [基于 GPU FPGA 芯片原型的 VxWorks 下驱动软件开发](#)
36. [VxWorks 下的多串口卡设计](#)
37. [VxWorks 内存管理机制的研究](#)
38. [T9 输入法在 Tilcon 下的实现](#)
39. [基于 VxWorks 的 WindML 图形界面开发方法](#)
40. [基于 Tilcon 的 IO 控制板可视化测试软件的设计和实现](#)
41. [基于 VxWorks 的通信服务器实时多任务软件设计](#)
42. [基于 VXWORKS 的 RS485MVB 网关的设计与实现](#)
43. [实时操作系统 VxWorks 在微机保护中的应用](#)
44. [基于 VxWorks 的多任务程序设计及通信管理](#)
45. [基于 Tilcon 的 VxWorks 图形界面开发技术](#)
46. [嵌入式图形系统 Tilcon 及应用研究](#)
47. [基于 VxWorks 的数据采集与重演软件的图形界面的设计与实现](#)
48. [基于嵌入式的 Tilcon 用户图形界面设计与开发](#)
49. [基于 Tilcon 的交互式多页面的设计](#)
50. [基于 Tilcon 的嵌入式系统人机界面开发技术](#)
51. [基于 Tilcon 的指控系统多任务人机交互软件设计](#)
52. [基于 Tilcon 航海标绘台界面设计](#)
53. [基于 Tornado 和 Tilcon 的嵌入式 GIS 图形编辑软件的开发](#)
54. [VxWorks 环境下内存文件系统的应用](#)
55. [VxWorks 下的多重定时器设计](#)
56. [Freescale 的 MPC8641D 的 VxWorks BSP](#)
57. [VxWorks 实验五\[时间片轮转调度\]](#)
58. [解决 VmWare 下下载大型工程.out 出现 WTX Error 0x100de 的问题](#)
- 59.

Linux:

1. [Linux 程序设计第三版及源代码](#)
2. [NAND FLASH 文件系统的设计与实现](#)
3. [多通道串行通信设备的 Linux 驱动程序实现](#)
4. [Zsh 开发指南-数组](#)
5. [常用 GDB 命令中文速览](#)

6. [嵌入式 C 进阶之道](#)
7. [Linux 串口编程实例](#)
8. [基于 Yocto Project 的嵌入式应用设计](#)
9. [Android 应用的反编译](#)
10. [基于 Android 行为的加密应用系统研究](#)
11. [嵌入式 Linux 系统移植步步通](#)
12. [嵌入式 CC++ 语言精华文章集锦](#)
13. [基于 Linux 的高性能服务器端的设计与研究](#)
14. [S3C6410 移植 Android 内核](#)
15. [Android 开发指南中文版](#)
16. [图解 Linux 操作系统架构设计与实现原理（第二版）](#)
17. [如何在 Ubuntu 和 Linux Mint 下轻松升级 Linux 内核](#)
18. [Android 简单 mp3 播放器源码](#)
19. [嵌入式 Linux 系统实时性的研究](#)
20. [Android 嵌入式系统架构及内核浅析](#)
21. [基于嵌入式 Linux 操作系统内核实时性的改进方法研究](#)
22. [Linux TCP IP 协议详解](#)
23. [Linux 桌面环境下内存去重技术的研究与实现](#)
24. [掌握 Android 7.0 新增特性 Quick Settings](#)
25. [Android 应用逆向分析方法研究](#)
26. [Android 操作系统的课程教学](#)
27. [Android 智能手机操作系统的研究](#)
28. [Android 英文朗读功能的实现](#)
29. [基于 Yocto 订制嵌入式 Linux 发行版](#)
30. [基于嵌入式 Linux 的网络设备驱动设计与实现](#)
31. [如何高效学习嵌入式](#)
32. [基于 Android 平台的 GPS 定位系统的设计与实现](#)
33. [LINUX ARM 下的 USB 驱动开发](#)
34. [Linux 下基于 I2C 协议的 RTC 驱动开发](#)
35. [嵌入式下 Linux 系统设备驱动程序的开发](#)
36. [基于嵌入式 Linux 的 SD 卡驱动程序的设计与实现](#)
37. [Linux 系统中进程调度策略](#)
38. [嵌入式 Linux 实时性方法](#)
39. [基于实时 Linux 计算机联锁系统实时性分析与改进](#)
40. [基于嵌入式 Linux 下的 USB30 驱动程序开发方法研究](#)
41. [Android 手机应用开发之音乐资源播放器](#)
42. [Linux 下以太网的 IPv6 隧道技术的实现](#)
43. [Research and design of mobile learning platform based on Android](#)
44. [基于 linux 和 Qt 的串口通信调试器调的设计及应用](#)
45. [在 Linux 平台上基于 QT 的动态图像采集系统的设计](#)
46. [基于 Android 平台的医护查房系统的研究与设计](#)
47. [基于 Android 平台的软件自动化监控工具的设计开发](#)

48. [基于 Android 的视频软硬解码及渲染的对比研究与实现](#)
49. [基于 Android 移动设备的加速度传感器技术研究](#)
50. [基于 Android 系统振动测试仪研究](#)
51. [基于缓存竞争优化的 Linux 进程调度策略](#)

Windows CE:

1. [Windows CE.NET 下 YAFFS 文件系统 NAND Flash 驱动程序设计](#)
2. [Windows CE 的 CAN 总线驱动程序设计](#)
3. [基于 Windows CE.NET 的 ADC 驱动程序实现与应用的研究](#)
4. [基于 Windows CE.NET 平台的串行通信实现](#)
5. [基于 Windows CE.NET 下的 GPRS 模块的研究与开发](#)
6. [win2k 下 NTFS 分区用 ntldr 加载进 dos 源代码](#)
7. [Windows 下的 USB 设备驱动程序开发](#)
8. [WinCE 的大容量程控数据传输解决方案设计](#)
9. [WinCE6.0 安装开发详解](#)
10. [DOS 下仿 Windows 的自带计算器程序 C 源码](#)
11. [G726 局域网语音通话程序和源代码](#)
12. [WinCE 主板加载第三方驱动程序的方法](#)
13. [WinCE 下的注册表编辑程序和源代码](#)
14. [WinCE 串口通信源代码](#)
15. [WINCE 的 SD 卡程序\[可实现读写的源码\]](#)
16. [基于 WinCE 的 BootLoader 研究](#)
17. [Windows CE 环境下无线网卡的自动安装](#)
18. [基于 Windows CE 的可视电话的研究与实现](#)
19. [基于 WinCE 的嵌入式图像采集系统设计](#)
20. [基于 ARM 与 WinCE 的掌纹鉴别系统](#)
21. [DCOM 协议在网络冗余环境下的应用](#)
22. [Windows XP Embedded 在变电站通信管理机中的应用](#)
23. [XPE 在多功能显控台上的开发与应用](#)
24. [基于 Windows XP Embedded 的 LKJ2000 仿真系统设计与实现](#)
25. [虚拟仪器的 Windows XP Embedded 操作系统开发](#)
26. [基于 EVC 的嵌入式导航电子地图设计](#)
27. [基于 XPEmbedded 的警务区 SMS 指挥平台的设计与实现](#)
28. [基于 XPE 的数字残币兑换工具开发](#)
29. [Windows CENET 下 ADC 驱动开发设计](#)
30. [Windows CE 下 USB 设备流驱动开发与设计](#)
31. [Windows 驱动程序设计](#)

PowerPC:

1. [Freescale MPC8536 开发板原理图](#)
2. [基于 MPC8548E 的固件设计](#)
3. [基于 MPC8548E 的嵌入式数据处理系统设计](#)
4. [基于 PowerPC 嵌入式网络通信平台的实现](#)
5. [PowerPC 在车辆显控系统中的应用](#)
6. [基于 PowerPC 的单板计算机的设计](#)
7. [用 PowerPC860 实现 FPGA 配置](#)
8. [基于 MPC8247 嵌入式电力交换系统的设计与实现](#)
9. [基于设备树的 MPC8247 嵌入式 Linux 系统开发](#)
10. [基于 MPC8313E 嵌入式系统 UBoot 的移植](#)
11. [基于 PowerPC 处理器 SMP 系统的 UBoot 移植](#)
12. [基于 PowerPC 双核处理器嵌入式系统 UBoot 移植](#)
13. [基于 PowerPC 的雷达通用处理机设计](#)
14. [PowerPC 平台引导加载程序的移植](#)
15. [基于 PowerPC 嵌入式内核的多串口通信扩展设计](#)
16. [基于 PowerPC 的多网口系统抗干扰设计](#)
17. [基于 MPC860T 与 VxWorks 的图形界面设计](#)
18. [基于 MPC8260 处理器的 PPMC 系统](#)
19. [基于 PowerPC 的控制器研究与设计](#)
20. [基于 PowerPC 的模拟量输入接口扩展](#)
21. [基于 PowerPC 的车载通信系统设计](#)
22. [基于 PowerPC 的嵌入式系统中通用 IO 口的扩展方法](#)
23. [基于 PowerPC440GP 型微控制器的嵌入式系统设计与研究](#)
24. [基于双 PowerPC 7447A 处理器的嵌入式系统硬件设计](#)
25. [基于 PowerPC603e 通用处理模块的设计与实现](#)
26. [嵌入式微机 MPC555 驻留片内监控器的开发与实现](#)
27. [基于 PowerPC 和 DSP 的电能质量在线监测装置的研制](#)
28. [基于 PowerPC 架构多核处理器嵌入式系统硬件设计](#)
29. [基于 PowerPC 的多屏系统设计](#)
30. [基于 PowerPC 的嵌入式 SMP 系统设计](#)

ARM:

1. [基于 DiskOnChip 2000 的驱动程序设计及应用](#)
2. [基于 ARM 体系的 PC-104 总线设计](#)
3. [基于 ARM 的嵌入式系统中断处理机制研究](#)
4. [设计 ARM 的中断处理](#)
5. [基于 ARM 的数据采集系统并行总线的驱动设计](#)
6. [S3C2410 下的 TFT LCD 驱动源码](#)
7. [STM32 SD 卡移植 FATFS 文件系统源码](#)
8. [STM32 ADC 多通道源码](#)
9. [ARM Linux 在 EP7312 上的移植](#)
10. [ARM 经典 300 问](#)
11. [基于 S5PV210 的频谱监测设备嵌入式系统设计与实现](#)
12. [Uboot 中 start.S 源码的指令级的详尽解析](#)
13. [基于 ARM9 的嵌入式 Zigbee 网关设计与实现](#)
14. [基于 S3C6410 处理器的嵌入式 Linux 系统移植](#)
15. [CortexA8 平台的 \$\mu\$ C-OS II 及 LwIP 协议栈的移植与实现](#)
16. [基于 ARM 的嵌入式 Linux 无线网卡设备驱动设计](#)
17. [ARM S3C2440 Linux ADC 驱动](#)
18. [ARM S3C2440 Linux 触摸屏驱动](#)
19. [Linux 和 Cortex-A8 的视频处理及数字微波传输系统设计](#)
20. [Nand Flash 启动模式下的 Uboot 移植](#)
21. [基于 ARM 处理器的 UART 设计](#)
22. [ARM CortexM3 处理器故障的分析与处理](#)
23. [ARM 微处理器启动和调试浅析](#)
24. [基于 ARM 系统下映像文件的执行与中断运行机制的实现](#)
25. [中断调用方式的 ARM 二次开发接口设计](#)
26. [ARM11 嵌入式系统 Linux 下 LCD 的驱动设计](#)
27. [Uboot 在 S3C2440 上的移植](#)
28. [基于 ARM11 的嵌入式无线视频终端的设计](#)
29. [基于 S3C6410 的 Uboot 分析与移植](#)
30. [基于 ARM 嵌入式系统的高保真无损音乐播放器设计](#)
31. [UBoot 在 Mini6410 上的移植](#)
32. [基于 ARM11 的嵌入式 Linux NAND FLASH 模拟 U 盘挂载分析与实现](#)
33. [基于 ARM11 的电源完整性分析](#)
34. [基于 ARM S3C6410 的 uboot 分析与移植](#)
35. [基于 S5PC100 移动视频监控终端的设计与实现](#)

Hardware:

1. [DSP 电源的典型设计](#)

2. [高频脉冲电源设计](#)
3. [电源的综合保护设计](#)
4. [任意波形电源的设计](#)
5. [高速 PCB 信号完整性分析及应用](#)
6. [DM642 高速图像采集系统的电磁干扰设计](#)
7. [使用 COMExpress Nano 工控板实现 IP 调度设备](#)
8. [基于 COM Express 架构的数据记录仪的设计与实现](#)
9. [基于 COM Express 的信号系统逻辑运算单元设计](#)
10. [基于 COM Express 的回波预处理模块设计](#)
11. [基于 X86 平台的简单多任务内核的分析与实现](#)
12. [基于 UEFI Shell 的 PreOS Application 的开发与研究](#)
13. [基于 UEFI 固件的恶意代码防范技术研究](#)
14. [MIPS 架构计算机平台的支持固件研究](#)
15. [基于 UEFI 固件的攻击验证技术研究](#)
16. [基于 UEFI 的 Application 和 Driver 的分析与开发](#)
17. [基于 UEFI 的可信 BIOS 研究与实现](#)
18. [基于 UEFI 的国产计算机平台 BIOS 研究](#)
19. [基于 UEFI 的安全模块设计分析](#)
20. [基于 FPGA Nios II 的等精度频率计设计](#)
21. [基于 FPGA 的 SOPC 设计](#)
22. [基于 SOPC 基本信号产生器的设计与实现](#)
23. [基于龙芯平台的 PMON 研究与开发](#)
24. [基于 X86 平台的嵌入式 BIOS 可配置设计](#)
25. [基于龙芯 2F 架构的 PMON 分析与优化](#)
26. [CPU 与 GPU 之间接口电路的设计与实现](#)
27. [基于龙芯 1A 平台的 PMON 源码编译和启动分析](#)
28. [基于 PC104 工控机的嵌入式直流监控装置的设计](#)
29. [GPGPU 技术研究与发展](#)
30. [GPU 实现的高速 FIR 数字滤波算法](#)
31. [一种基于 CPUGPU 异构计算的混合编程模型](#)
32. [面向 OpenCL 模型的 GPU 性能优化](#)
33. [基于 GPU 的 FDTD 算法](#)
34. [基于 GPU 的瑕疵检测](#)
35. [基于 GPU 通用计算的分析与研究](#)
36. [面向 OpenCL 架构的 GPGPU 量化性能模型](#)
37. [基于 OpenCL 的图像积分图算法优化研究](#)
38. [基于 OpenCL 的均值平移算法在多个众核平台的性能优化研究](#)
39. [基于 OpenCL 的异构系统并行编程](#)
40. [嵌入式系统中热备份双机切换技术研究](#)

Programming:

1. [计算机软件基础数据结构 - 算法](#)
2. [高级数据结构对算法的优化](#)
3. [零基础学算法](#)
4. [Linux 环境下基于 TCP 的 Socket 编程浅析](#)
5. [Linux 环境下基于 UDP 的 socket 编程浅析](#)
6. [基于 Socket 的网络编程技术及其实现](#)
7. [数据结构考题 - 第 1 章 绪论](#)
8. [数据结构考题 - 第 2 章 线性表](#)
9. [数据结构考题 - 第 2 章 线性表 - 答案](#)
10. [基于小波变换与偏微分方程的图像分解及边缘检测](#)
11. [基于图像能量的布匹瑕疵检测方法](#)
12. [基于 OpenCL 的拉普拉斯图像增强算法优化研究](#)
13. [异构平台上基于 OpenCL 的 FFT 实现与优化](#)
14. [数据结构考题 - 第 4 章 串](#)
15. [数据结构考题 - 第 4 章 串答案](#)
- 16.

FPGA / CPLD:

1. [一种基于并行处理器的快速车道线检测系统及 FPGA 实现](#)
2. [基于 FPGA 和 DSP 的 DBF 实现](#)
3. [高速浮点运算单元的 FPGA 实现](#)
4. [DLMS 算法的脉动阵结构设计及 FPGA 实现](#)
5. [一种基于 FPGA 的 3DES 加密算法实现](#)
6. [可编程 FIR 滤波器的 FPGA 实现](#)
7. [基于 FPGA 的 AES 加密算法的高速实现](#)
8. [基于 FPGA 的精确时钟同步方法](#)
9. [应用分布式算法在 FPGA 平台实现 FIR 低通滤波器](#)
10. [流水线技术在用 FPGA 实现高速 DSP 运算中的应用](#)
11. [基于 FPGA 的 CAN 总线通信节点设计](#)
12. [基于 FPGA 的高速时钟数据恢复电路的实现](#)
13. [基于 FPGA 的高阶高速 FIR 滤波器设计与实现](#)
14. [基于 FPGA 高效实现 FIR 滤波器的研究](#)
- 15.